

اثر عوامل زمان، دما، غلظت آنزیم و پرزهای سطحی بر کاهش وزن در زیست پرداخت پارچه های پنبه ای

The Effects of Time, Temperature, Concentration of Enzyme and Fuzz on Weight Loss in Biopolishing of Cotton Fabrics

محمد مرشد، اکبر خدامی

دانشگاه صنعتی اصفهان، دانشکده مهندسی نساجی

دریافت: ۷۶/۱۱/۹، پذیرش: ۷۶/۱۲/۴

چکیده

زیست پرداخت پارچه های پنبه ای با تغییر شرایط واکنش شامل دما، زمان و غلظت آنزیم به وسیله اندازه گیری میزان تغییرات کاهش وزن حاصل از هیدرولیز آنزیمی برسی شده است. با مقایسه نتایج هیدرولیز نمونه های مختلفی از پارچه، که بعضی از آنها خارزده و تعدادی نیز برس زده بودند، مشخص شد که شکل منحنیها و مقادیر کاهش وزن بستگی به میزان پرزهای سطح پارچه دارد.

با تعیین نتایج ریاضی بهترین منحنی، بین نتایج مقدار کاهش وزن در مقابل زمان واکنش و غلظت آنزیم، نشان داده شده است که این منحنیها دارای روند تغییرات مشابه اند. از این رو به کمک آنها می توان شرایط مطلوب انجام زیست پرداخت را در حالتی که شرایط هیدرولیز ملائم است معین کرد.

واژه های کلیدی: زیست پرداخت، هیدرولیز آنزیمی، سلولاز، کاهش وزن، پارچه پنبه ای

Key Words: biopolishing, enzymatic hydrolysis, cellulase, weight loss, cotton fabric

- نوع تجهیزاتی که برای عملیات زیست پرداخت بکار می رود و

- مقدار پارچه و نسبت حجم مایع به وزن کالا.

در زیست پرداخت، بر اثر هیدرولیز سلولولیتی، عمدتاً پرزها و الیافی که دارای سر آزاد در سطح پارچه اند تفضیف می شوند، ولی برای کامل شدن عملیات و کنده شدن پرزها اعمال سایش مکانیکی ضرورت پیدا می کند [۳-۶]. بنابراین، نوع تجهیزات و نسبت حجم مایع به وزن کالا دارای نقش تعیین کننده ای است. سایش اعمال شده روی پارچه علاوه بر نوع ماشین بکار رفته به سایش سطوح پارچه با یکدیگر نیز بستگی دارد.

ملاحظه می شود که با توجه به تعدد پارامترهای موثر در هیدرولیز پارچه ها، کنترل دقیق فرایند کار ساده ای نیست. باید تمام عوامل شناسایی و چگونگی تاثیر آنها مشخص شود تا کنترل دقیق

مقدمه
تاکنون مطالب و مقالات متعددی درباره زیست پرداخت پارچه های سلولوزی در مجله های مختلف به چاپ رسیده است [۱، ۲]. یکی از دلایل گسترش نیافتن عملیات زیست پرداخت مانند فرایندهای متدائل در صنعت نساجی این است که تعیین شرایط مناسب برای واکنش و کنترل دقیق شدت هیدرولیز کار ساده ای نیست. زیرا، هیدرولیز آنزیمی پارچه های سلولوزی علاوه بر زمان و دمای فرایند، به عوامل متعددی بستگی دارد که عبارتند از:

- ساختار و نوع بافت پارچه،

- مقدار و نوع الیاف سلولوزی موجود در پارچه،

- pH، سیستم بافر و نوع آنزیمهای مصرفی،

آزمیم به آن اضافه گردید، نمونه پارچه در محلول وارد و در زمانهای مشخص واکنش روی آن انجام شد. در پایان نیز برای توقف هیدرولیز، نمونه‌های پارچه بمدت ۱۰ دقیقه در دمای 80°C در همان محیط عمل آوری شدند و در آخر 1 g/L سدیم کربنات به محلول اضافه شد. سپس، پارچه‌ها آبکشی و در دمای محیط خشک شدند. در تمام مراحل آزمایش نیز به منظور افزایش سایش مکانیکی به هر حمام ۲۵ ساچمه فولادی اضافه شد.

اثر مقدار پرزهای سطح پارچه بر شدت هیدرولیز با ترسیم منحنیهای تغیرات کاهش وزن نسبت به زمان واکنش و غلظت آزمیم مشخص شد که کاهش وزن بر اثر هیدرولیز آزمیم، ارتباط نزدیکی با مقدار پرزهای سطح پارچه دارد. از این رو، برای اثبات این موضوع نمونه‌هایی از پارچه‌ها خارزده و تعدادی دیگر نیز برس زده شدند. روش انجام این عملیات نیز بنحوی بود که کمترین نیرو به پارچه وارد شد. هدف از برس زدن پارچه جدا ساختن پرزها و الیاف سنتی بود که در سطح پارچه یافت می‌شدند. در هر بار برس زنی نیز دو طرف پارچه برس زده شد و از طرف دیگر برای افزایش پرزهای سطح پارچه عملیات خارزی انجام گردید.

هیدرولیز نمونه‌هایی که خارزده یا برس زده شدند در $\text{pH}=4/5$ دمای 55°C ، زمان واکنش 30 ، 60 ، 90 و 120 دقیقه انجام شد و نسبت حجم محلول به وزن کالا به $1/20$ بود. غلظت آزمیم برای نمونه‌های برس زده شده 1 g/L و برای نمونه‌های خارزده شده $1/8$ بود.

اثر هیدرولیز بر خصوصیات نمونه‌های پارچه اثربخشی پارچه با اندازه گیری مقدار کاهش وزن و کاهش نیروی پارگی بررسی شد. کاهش وزن به وسیله توزین هر نمونه قبل و بعد از واکنش و پس از اینکه بعدت ۴ ساعت در دمای 105°C خشک شد، محاسبه گردید.

برای اندازه گیری استحکام نخهای تار و پود، نمونه‌هایی به طول 5 cm و برای پارچه بصورت نواری، نمونه‌هایی بطول 15 cm انتخاب و با سرعت 5 mm/min به کمک دستگاه زوییک آزمایش شدند.

نتایج و بحث

تغیرات مقدار کاهش وزن نسبت به غلظت آزمیم و زمان واکنش در شکل‌های ۱ تا ۴ نشان داده شده‌اند. منحنیهای تغیرات کاهش وزن واکنش 1 و 2 نشان داده شده‌اند. منحنیهای کاهش وزن در سایر مراجع بذست آمده از این آزمایشها با نتایج گزارش شده در سایر مراجع مطابقت دارند [۱۱-۱۸]. همان گونه که منحنیهای کاهش وزن نسبت به زمان واکنش نشان می‌دهند، بیشترین شدت کاهش وزن در همان

جدول ۱ - خصوصیات پارچه‌ای که در این آزمایشها به عنوان سوبسترا بکار رفته است.

نمره نخ (انگلیسی)	تراکم (بر cm)	وزن (g/m ²)	نوع بافت	
			تار	پود
۲۴/۱	۲۴	۳۰	تار	پود
۲۴/۱	۲۴	۲۴/۱	تار	تار

فرایند زیست پرداخت می‌سرگرد.

در بیشتر مقالات [۱-۶، ۷] پیشنهاد شده است که با آزمایش نمونه‌های کوچکی از پارچه تحت شرایط مختلف، شرایط بهینه فرایند معین شود. بدیهی است که این روش و تغییر و مشکل است. از این رو، در این پژوهش سعی شده است که مشخصه‌ای برای تعیین شرایط مناسب هیدرولیز پیشنهاد شود، تا با کمترین کاهش استحکام، خواص سطحی و پرزدھی پارچه بهبود یابد.

تجربی

مواد

در آزمایشها پارچه صد درصد پنبه‌ای با خصوصیات مندرج در جدول ۱ بکار رفته است. تمام مواد شیمیایی مصرفی از نوع تجزیه‌ای و ساخت شرکت مرک بودند. آزمایش‌های سلولار بکار برده شده با نام تجاری انزیلون CM-۳۰ محصول شرکت LJ Specialities LJ بودند.

دستگاهها

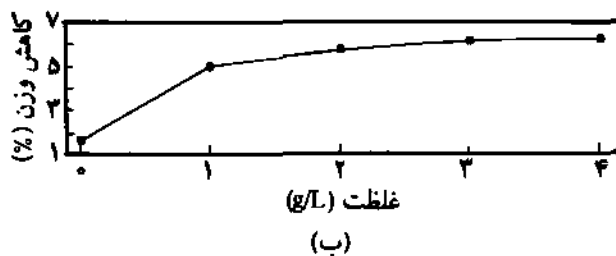
دستگاهی که هیدرولیز نمونه‌ها به کمک آن انجام گرفت، دستگاه آهیاپلی مت بود. برای خارزی (raising) و برس زنی نمونه‌های پارچه از ماشین آلن وست برایتون استفاده شد. برای اندازه گیری استحکام (نیروی پارگی) نمونه‌ها، دستگاه اندازه گیری استحکام، ساخت شرکت زوییک مدل ۱۴۴۶ بکار برده شد.

روشها

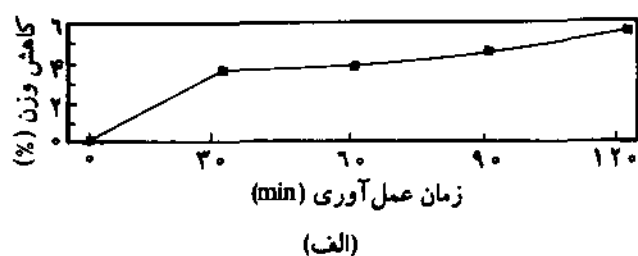
هیدرولیز آزمیم نمونه‌ها

برای بررسی رابطه بین شدت هیدرولیز و کاهش وزن، نمونه‌های پارچه با تغییر غلظت آزمیم، دما و زمان واکنش در شرایط زیر آزمایش شدند: غلظت آزمیم 1 ، 2 و 3 g/L pH=۴/۵ دمای 40 و 55°C ، زمان واکنش 30 ، 60 ، 90 و 120 دقیقه و نسبت حجم محلول به وزن کالا به $1/20$ بود.

روش آزمایش نیز بدین ترتیب بود که ابتدا به وسیله استیک اسید و سدیم هیدروکسید محلول بافر ساخته شد و پس از آنکه مقدار لازم از

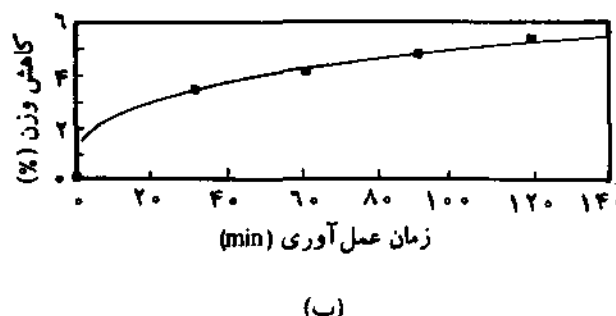


(ب)

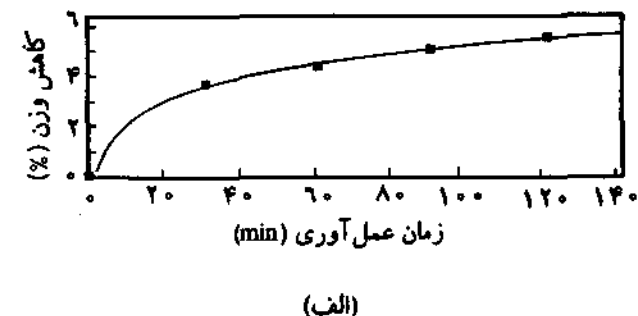


(الف)

شکل ۱ - تغییرات کاهش وزن در دمای 40°C نسبت به: (الف) زمان عمل آوری در غلظت 4 g/L و (ب) غلظت آنزیم در زمان 90 min .

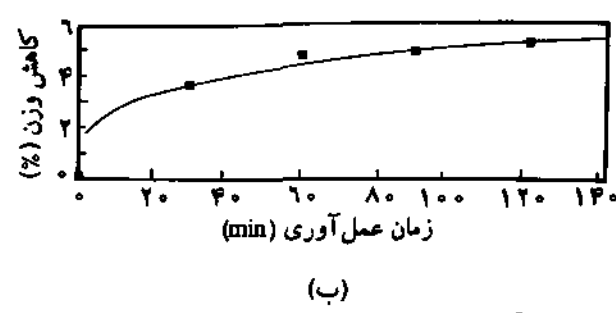


(ب)

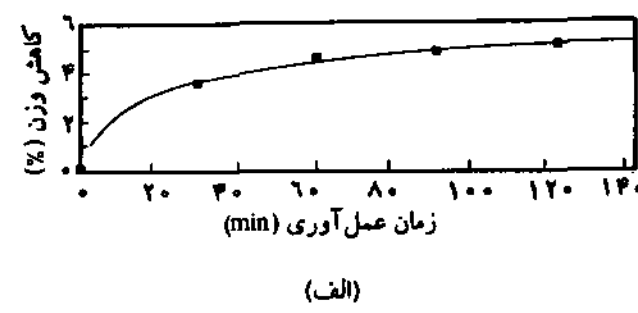


(الف)

شکل ۲ - تغییرات کاهش وزن نسبت به زمان واکنش و منحنیهای برآزنده آنها در دمای 55°C و غلظت آنزیم 3 g/L : (الف) لگاریتمی و (ب) توانی.

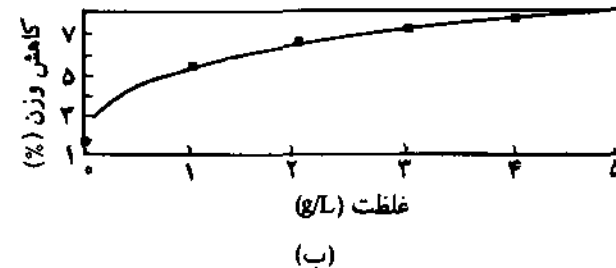


(ب)

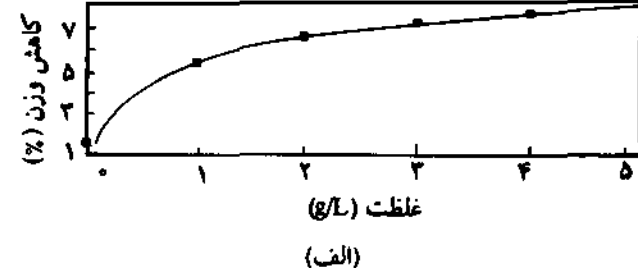


(الف)

شکل ۳ - تغییرات کاهش وزن نسبت به زمان عمل آوری و منحنیهای برآزنده آنها در دمای 40°C و غلظت آنزیم 3 g/L : (الف) لگاریتمی و (ب) توانی.



(ب)



(الف)

شکل ۴ - تغییرات کاهش وزن نسبت به غلظت آنزیم و منحنیهای برآزنده آنها در دمای 40°C و زمان عمل آوری 120 min : (الف) لگاریتمی و (ب) توانی.

جدول ۲ - نتایج رگرسیون برای منحنیهای شکل‌های ۲ تا ۴.

شکل ۴		شکل ۲		شکل ۲		نوع تابع
لگاریتمی	توانی	لگاریتمی	توانی	لگاریتمی	توانی	
۰/۹۹۹	۰/۹۹۴	۰/۹۳۸	۰/۹۲۴	۰/۹۶۸	۰/۹۹۰	R ²
۵/۲۱۴	۵/۲۴۴	-۰/۲۰۲	۱/۴۷۸	-۰/۹۹۲	۳/۰۷۸	a
۱/۶۷۶	۰/۲۶۴	۱/۱۸۰	۰/۲۷۱	۱/۲۹۱	۰/۰۰۵	b

وزن، روند تغییرات یکسان است.

نتایج هیدرولیز پارچه‌های خارزده شده در شکل ۵ نشان داده شده است. همان طور که مشاهده می‌گردد، هر دو پارچه خارزده شده دارای کاهش وزن بیشتری نسبت به نمونه شاهدند و نمونه‌ای که سه بار خارزده شده است بیشترین کاهش وزن را دارد. در نمونه‌هایی که برس زده شده‌اند با افزایش دفعات بررس زنی، که نشان دهنده کم شدن پرزهای سطح پارچه است، کاهش وزن ناشی از واکنش نیز کمتر شده است. شکل ۶ نتایج این آزمایشها را نشان می‌دهد. از شکل ۵ علاوه بر نتیجه یاد شده بخوبی مشخص است که با افزایش پرزهای سطح پارچه، ناجه تغییر شیب منحنیها در محدوده بالاتری از کاهش وزن قرار می‌گیرد.

در شکل ۷، تغییرات کاهش وزن برای نمونه‌های هیدرولیز شده در شرایط مختلف نشان داده شده است. برای تمام این نمونه‌ها ملاحظه می‌شود که پس از ۶۰ دقیقه مقدار کاهش وزن ناچیز است.

نتایج اندازه‌گیری نیروی پارگی نخهای تار و پود در شکل ۸ نشان داده شده است. در مراحل اولیه عملیات، به علت کنده شدن پرزهای سطح پارچه، مقدار کاهش وزن حاصل از واکش زیاد است. بعد از این مرحله، چون کاهش وزن عمدتاً به هیدرولیز ساختار اصلی پارچه مربوط می‌شود، از میزان آن کاسته می‌شود. بنابراین، همان طور که شکل ۸ نشان می‌دهد، در مراحل ابتدایی هیدرولیز با اینکه مقدار کاهش وزن زیاد است، چون وزن کاسته شده مربوط به کنده شدن پرزهای است، نخها استحکام خود را تا حد زیادی حفظ کرده‌اند. ولی، در مرحله‌ای که شیب منحنیها کمتر شده است، حتی با اندک افزایشی در

ابتدا هیدرولیز اتفاق می‌افتد و بعد از ۶۰ دقیقه به یک حد تقریباً ثابت می‌رسد و از شدت آن کاسته می‌شود. در شرایطی نیز که تمام عوامل ثابت بوده و فقط غلظت آنزیم افزایش می‌یابد، بیشتر تغییرات کاهش وزن در محدوده غلظتها کم صورت می‌گیرد و افزایش غلظت آنزیم اثر چندانی بر کاهش وزن ندارد (شکل ۴).

با درنظر گرفتن لغزش آنزیم و با فرض: واکش و بار دیگر غلظت آنزیم و با فرض:

$$(1) \quad y = \phi(x)$$

شكلهای مختلف نوع خطی، لگاریتمی، نمایی و توانی، به وسیله کامپیوتر برمی‌شده‌اند. در میان این نوع، نمای لگاریتمی به شکل:

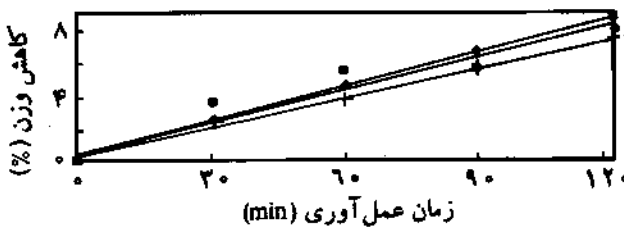
$$(2) \quad y = a + b \ln x$$

و نمای توانی به صورت:

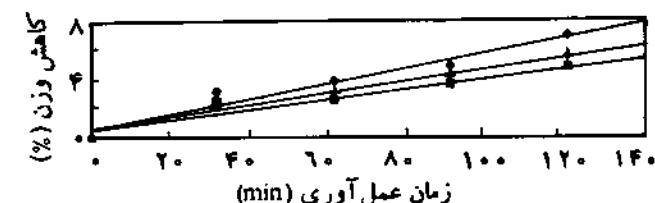
$$(3) \quad y = a + bx^{1/n}$$

که در آنها ضرایب a و b مقادیری ثابت‌اند، بهترین ضریب همبستگی (R^2) را داشتند.

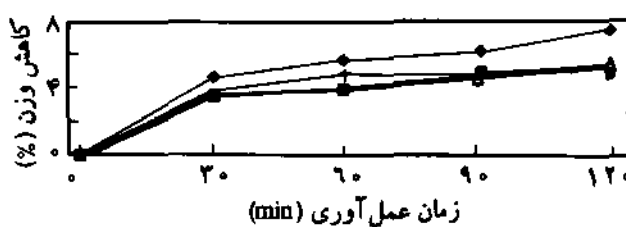
نتایج محاسبات انجام شده برای شکل‌های ۲ تا ۴ در جدول ۲ نشان داده شده است. در مورد بقیه منحنیهای کاهش وزن نیز ضرایب همبستگی بالاتر از ۹۰٪ است. ملاحظه می‌شود که در منحنیهای کاهش



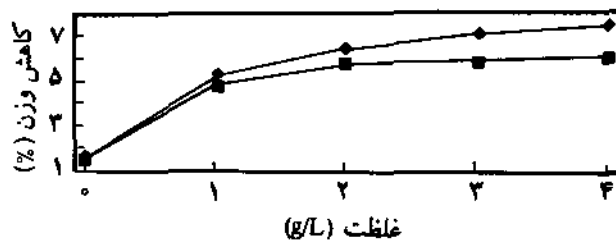
شکل ۶ - اثر کاهش پرزهای سطح پارچه بر منحنیهای کاهش وزن نمونه‌های: (■) شاهد و (◊) یکبار و (+) دوبار برس زده شده.



شکل ۵ - اثر پرزدار کردن سطح پارچه بر منحنیهای کاهش وزن نمونه‌های: (■) شاهد و (+) یکبار و (◊) دوبار خارزده شده.



شکل ۹- اثر شدیدتر شدن شرایط هیدرولیز بر مقدار کاهش وزن مطلوب برای زیست پرداخت: (■) 30°C و 3 g/L , (△) 30°C و 4 g/L , (▲) 40°C و 3 g/L , (⊕) 40°C و 4 g/L و (■) 55°C و 4 g/L .



شکل ۱۰- مقایسه منحنیهای کاهش وزن در دمای 40°C در غلظتها مختلف آنزیم با زمان عمل آوری: (■) 90 min و (⊕) 120 min .

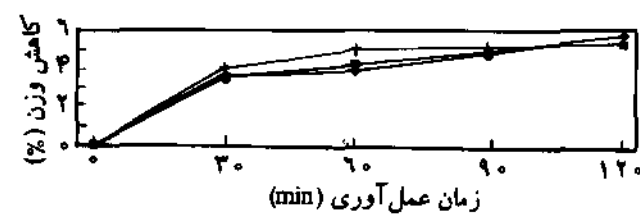
نتیجه‌گیری

کاهش وزن عاملی است که به کمک آن برحی مطلوب می‌توان شدت هیدرولیز آنزیمی پارچه‌ها را معین کرد. کاهش وزن حاصل از عملیات زیست پرداخت نسبت مستقیم با پرزهای سطح پارچه دارد. شکل منحنیهای کاهش وزن مشخص می‌سازد که می‌توان زیست پرداخت را در زمانهای کوتاه و با استفاده از غلظت کم آنزیم انجام داد. منحنیهای کاهش وزن شکل ۱۰ نسبتی دارند و روند تغییرات در آنها مشابه‌اند و با توابع لگاریتمی و توافق با نظریه همبستگی بالامطابقت دارند.

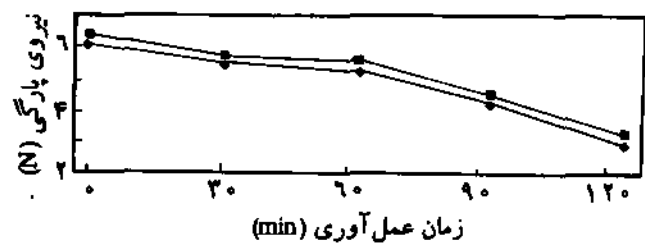
بنظری می‌رسد که شدت هیدرولیز مناسب برای فرایند زیست پرداخت را به کمک منحنیهای کاهش وزن بتوان مشخص کرد و آن در صورتی است که شرایط واکنش چندان شدید نباشد. اگر در شرایطی ملایم پارامتر متغیر هیدرولیز زمان واکنش باشد، مشاهده می‌شود که در محدوده‌ای خاص، شبیه منحنیهای کاهش وزن تقلیل می‌یابد. این محدوده شاید بتواند مشخص کننده کاهش وزن (شدت هیدرولیز) مناسب فرایند باشد. برای جلوگیری از کاهش بیش از حد استحکام، بهتر است حد پایین کاهش وزن در محدوده معین شده برای عملیات زیست پرداخت مدنظر قرار گیرد.

مراجع

1 Klahorst S., Kumar A. and Mullins M. M.; *Text. Chem.*



شکل ۷- تعیین محدوده خاصی از کاهش وزن به وسیله منحنیهای که برای نمونه‌های هیدرولیز شده در شرایط مختلف بدست آمده است: (■) 30°C و 3 g/L , (△) 30°C و 4 g/L و (▲) 40°C و 3 g/L .



شکل ۸- کاهش نیروی پارگی نخهای تار و پود نمونه‌های هیدرولیز شده در 40°C با غلظت آنزیم 3 g/L نسبت به زمان واکنش: (■) تار و (⊕) پود.

مقدار کاهش وزن، کاهش نیروی پارگی نخهای تار و پود زیاد می‌شود. اثر غلظت آنزیم بر مقدار کاهش وزن در شکل ۹ نشان داده شده است. در این شکل مشاهده می‌شود که در شرایط یکسان با افزایش غلظت آنزیم، کاهش وزن افزایش می‌یابد. این تفاوت می‌تواند بر اثر فعالیت آنزیمها در قابل حل ساختن قسمتهای داخلی پارچه باشد. ملاحظه می‌شود که در شرایط یکسان با افزایش غلظت آنزیم اجزای پیشتری از الیاف ساختار پارچه هیدرولیز می‌شوند و بدینهی است که کاهش استحکام نیز پیشتر می‌شود.

برای تسریع واکنش، به علت اینکه دامنه تغییرات دما محدود است، فقط می‌توان غلظت آنزیم را بیشتر کرد. در وضعيتی که تمام شرایط از جمله سایش مکانیکی ثابت است و فقط غلظت آنزیم افزایش می‌یابد، کاهش استحکام بیش از زمانی خواهد بود که شرایط هیدرولیز ملایمتر است.

شکل ۱۰ اثر غلظت آنزیم را بر کاهش وزن در زمانهای ۹۰ و ۱۲۰ دقیقه نشان می‌دهد. این شکل مشخص می‌سازد که بهتر است هیدرولیز در شرایطی ملایم و با غلظت کم آنزیم انجام گیرد. زیرا، اگر شدت هیدرولیز و مقدار کاهش وزن حتی اندکی بیش از حد مناسب عملیات شود، کاهش استحکام کالا زیاد خواهد بود (شکل ۸). بنابراین، بهتر است همیشه حد پایین محدوده مشخص شده برای زیست پرداخت را جهت هیدرولیز آنزیمی کنترل شده پارچه‌ها مدنظر قرار داد.

- 404-7 and E184-5, 1993.
- 8 Koo H., Ueda M. and Wakida T.; *Text. Res. J.*; **64**, 2, 70-2, Feb. 1994.
- 9 Buschle-Diller G. et al.; *Text. Res. J.*; **64**, 5, 270-9, May 1994.
- 10 Beltrame P. L. and Paglia D.; *J. Appl. Polym. Sci.*; **44**, 12, 2095-101, 1992.
- ۱۱ - مرشد محمد و خدامی اکبر، مجموعه مقالات کنفرانس علوم و تکنولوژی نساجی، صفحه ۱۸۷، ۱۳۷۶.
- Color.*; **26**, 2, 13-8, Feb. 1998.
- 2 Lenz J. et al.; *J. Appl. Polym. Sci.*; **41**, 1315-26, 1990.
- 3 Pederson G. L., Screw G. A. and Cedron D. M.; *Can. Text. J.*; **31**-5, Dec. 1992.
- 4 Kumar A., Purtell C. and Lepola M.; *Text. Chem. Color.*; **26**, 10, 25-8, Oct. 1994.
- 5 Cavaco A. and Almeida L.; *Biocatalysis*; **10**, 353-60, 1994.
- 6 Chong C. L. and Yip P. C.; *Am. Dyestuff Rep.*; **54**-9, March 1994.
- 7 Almeida L. and Cavaco A.; *Melliand Textilber*, **74**, 5,